

### III-137 S H 波による都市地盤での支持層探査

(株)応用地質調査事務所 地盤工学研究所 正会員 大友秀夫  
 太田賢治  
 大石善雄

#### I. はじめに

各種の構造物基礎の支持層調査には、従来からボーリング調査が行われている。しかしながら、支持層上面が起伏に富むような場所では、ボーリングだけで地下の構造が充分に把握できない場合も多い。

筆者達は、軟弱な都市地盤での地下構造探査などを目的として、S H 波による反射法探査の現場実験を行うとともに、収録データの処理・解析手法の開発を進めしてきた。ここでは、千葉県浦安市の海岸埋立地帯、埼玉県桶川市の井戸底地帯での実験結果について述べる。

#### II. 計定・処理・解析の概要

図-1に測定方法、図-2にデータ処理・解析の概要を示す。表-1には、ここで述べる3つの測線の測定・処理条件をまとめた。以下に浦安A測線を例にして測定法の概要を述べる。

測定点N0.1に振源用の板を置き、N0.2～N0.13に水平動地震計を設置し、板を横叩きしてS H 波を発生させ、地下の反射面から地表に戻る微弱な反射波をデータ収録装置に記録する。次に、振源をN0.2に、地震計をN0.3～N0.14に移動し、同様のデータを収録する。このように、振源と測定点を順次移動して、418mの測定を終了した。そのデータ数は、 $101^{\text{shot}} \times 12^{\text{ch}} = 1212^{\text{trace}}$  であり、全てをミニコンピューターに入力し、記録内の反射波位相の連続性を用いて、地下断面を視覚的に表現するためのデータ処理・解析を実行した。上記の測定法をとると、測定点間隔の1/2の間隔

にCommon Depth Point がとられる。図-1の下段にその概念を示すが、全てのデータは振源と測定点の中点が測線上の同一の CDP 位置となるグループに並べられる ("CDP Sorting")。各 CDP グループを構成する記録の数を fold 数と呼ぶ。各記録は、振源～測定点の中点位置を共有するが、その距離（オフセット）は異なり、2 である。全記録をゼロオフセットの記録に補正し ("NMO 補正")、最終的には CDP グループごとに 1 つの記録に加算する ("CDP Stack")。

この CDP スタック法により、多重反射などを除去したり、S/N 比の向上を計っている。実際には代表的な CDP データについて速度解釈を行い、周辺の既存の地質資料などを参考にして速度モデルを定め、NMO 補正に満足するとともに、このモデルに従って時間～深度変換を実行した。

表-1 計定・処理条件

測線名	測線状況	測線長	測定点間隔	測定システム	CDP間隔	fold数	入力データ数	処理条件
浦安A測線	埋立地道路盛土	418m	4m	12chアナログシステム	2m	最大6	1,212	デテクターカウント=1024, カットオフ=2ms
B	埋立地平担地	327m	6m	同上	3m	6	627	同上
桶川A	競馬場公園内	80m	2m	24chデジタルシステム	1m	12	786	同上

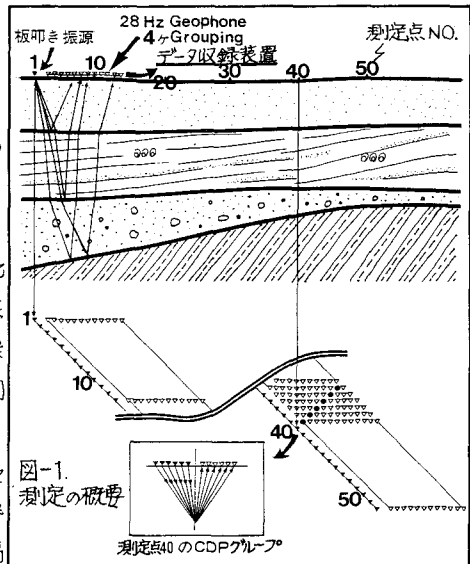
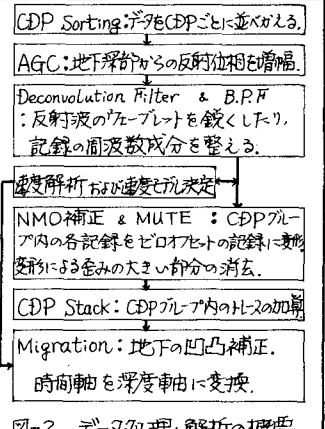


図-1.  
測定の概要



### III 採査結果

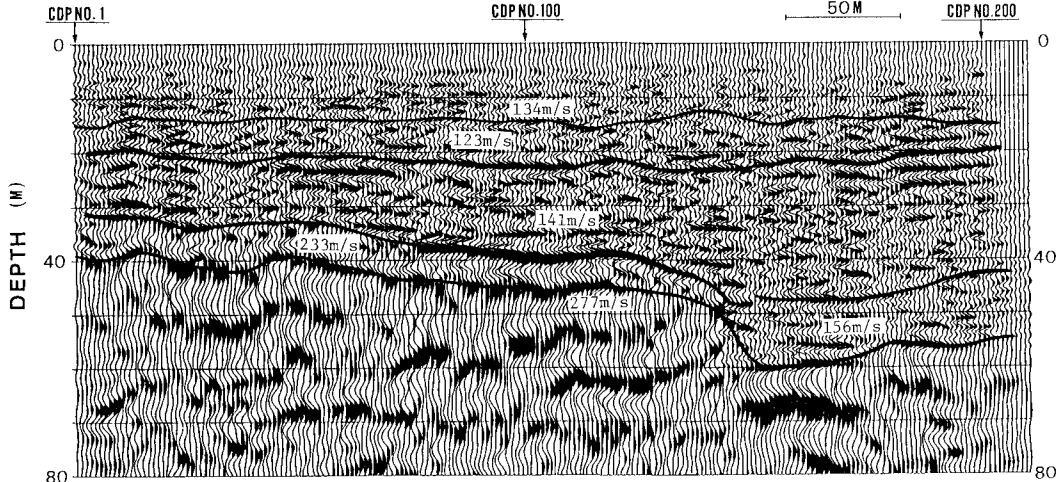


図-3 浦安 A 刹線探査結果図

図-3～図-5は、各3刹線の深度断面である。図中の速度値は、速度解釈による各層の平均的なS波速度である。

(浦安A測線) 芝積弓上面の起伏が激しいと予想される場所に配置した。CDP No. 45とCDP No. 190の近くに既往ボーリング地点があり、前者では深度38m附近、後者では深度59m附近に芝積弓を確認している。

図-3のS波速度が230%を超える速度弓を芝積弓に対比した。すなわち、CDP No.125からCDP No.150の約50m間で、芝積弓上面が約20mの比高差を持つ探査結果を得た。

(浦安B測線) CDP No. 1 から No.90 付近まで、芝積弓上面は深度55m前後にはほぼ平坦に分布し、CDP No. 90 から No.100 の約30m間で 10m弱の比高差を持つ結果を得た。

(浦和A測線) 浦安の2測線に比べ、地質情報の少ない場所である。S波速度値などから、深度25mまで超軟弱な粘性土層、25m附近から40m附近まで芝積粘性土層、その下位に砂礫層が分布すると予想される。

### IV. あとがき

軟弱な都市地盤を対象に、簡単な板叩き振源を使ったSH波反射法探査を実施した。いずれも深度30～60mに分布する芝積弓の上面形状をとらしむことができた。ボーリングやPS検査などの地盤調査に本手法を加えれば、詳細な地下構造の推定が可能となる。

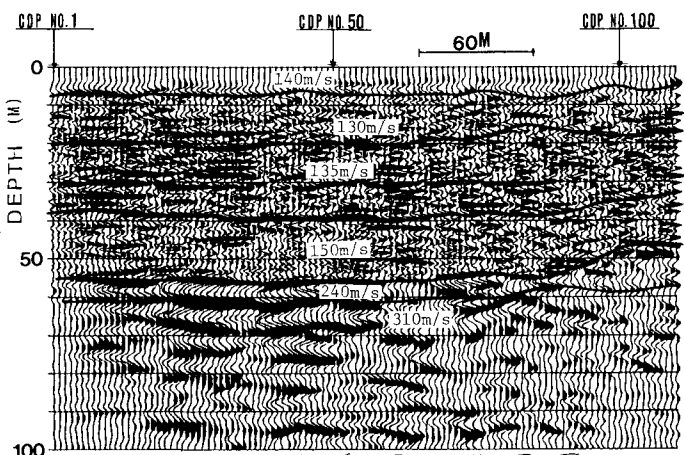


図-4 浦安 B 刹線探査結果図

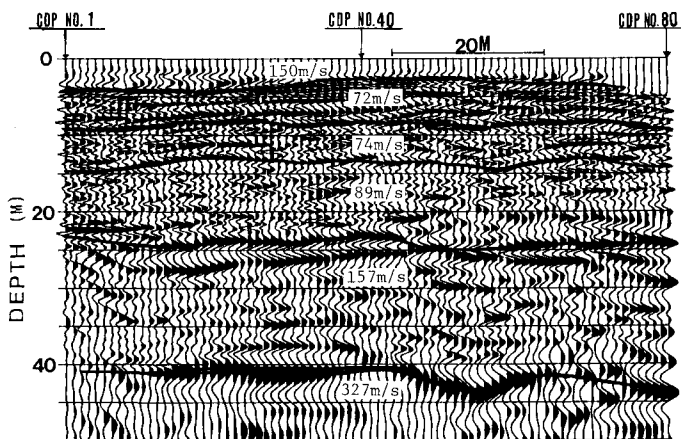


図-5 浦和 A 刹線探査結果図